



17-41-IB-9095-FC.- Niveles oolíticos turbidíticos intercalados en la serie jurásica del Subbético - Medio Central.





17-41-IB-9096-FC.- Cálizas nodulosas del Dogger -  
Malm. Subbético Medio Septentrional.



17-41-IB-9097-FC.- Margocalizas con nódulos de si  
lex aleniense. Subético Medio Septentrional.



17-41-IB-9098-FC.- Serie de Calizas y margocalizas  
del Toarcieno Superior. Subbético Medio Septentrio  
nal.



17-41-IB-9099-FC.- Contacto entre calizas nodulosas del Bajociente Inferior y rocas volcánicas Subbético Medio Central.



17-41-IB-9100-FC.- Estructuras "Burrows" en niveles calcareníticos de tipo turbidíticos.



17-41-IB-9101-FC.- Margocalizas y calizas con silex  
del Lías Medio. Subbético Medio Central.





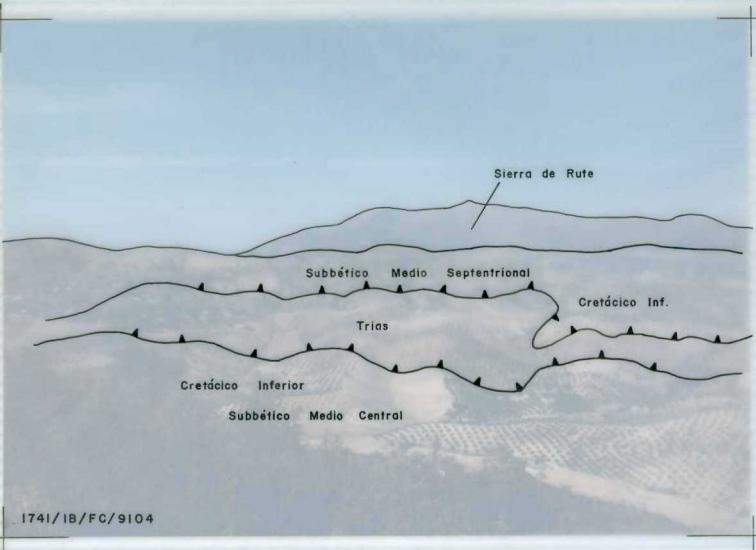
17-41-IB-9102-FC.- Niveles calcáreos dentro de flys  
chs turbidíticos.



17-41-IB-9103-FC.- Pliegues en el Trías.



17-41-IB-9104-FC.- Cabalgamiento del Subbético Medio Septentrional sobre el Central. Sector de Loma de las Ventanas.



1741/IB/FC/9104

17-41-IB-9104-FC.- Cabalgamiento del Subbético Medio Septentrional sobre el Central. Sector de Loma de las Ventanas.



17-41-IB-9105-FC.- Cretácico Inferior en contacto  
mecánico con radiolaritas.



17-41-IB-9106-FC.- Techo de un paquete de calizas oolíticas con superficie de ripples. Subbético Medio Central.



17-41-IB-9107-FC.- Pliegues en materiales del Cenomanense - Turonense.





17-41-IB-9108-FC.- Margas y Margocalizas con silex  
del Cenomanense - Turonense.



17-41-IB-9109-FC.- Cabalgamiento del Trías sobre materiales arcillosos de las "Formaciones Tectónicas".



17-41-IB-9110-FC.- Panorámica de Iznajar sobre arenas calcáreas del Mioceno Superior. En primer plano el Embalse de Iznajar.



17-41-IB-9111-FC.- Secuencias turbidíticas del Oligoceno dentro de la Formación de "Arcillas con bloques".



17-41-IB-9112-FC.- Antiguas explotaciones de mineral de hierro dentro del Triás.



17-41-IB-9113-FC.- Mineralización de hierro en el Trías.